



مقاله پژوهشی

شناسایی مکان‌های ژنی مؤثر بر مؤلفه‌های جوانه‌زنی در جمعیت لاین‌های خویش آمیخته نوترکیب برنج ایرانی (*Oryza sativa L.*) تحت تنشیه‌های خشکی و شوری

سمیه سنچولی^۱، محمود قربانزاده نقاب^۲، حسین صبوری^{۳*}، محمد زارع مهرجردی^۴

۱. دانشجوی کارشناسی ارشد رشته بیوتکنولوژی کشاورزی مجتمع آموزش عالی شیراز

۲. دانشیار گروه تولیدات گیاهی، مجتمع آموزش عالی شیراز

۳. دانشیار تولیدات گیاهی، دانشکده کشاورزی و منابع طبیعی، دانشگاه گنبد کاووس

۴. استادیار گروه تولیدات گیاهی، مجتمع آموزش عالی شیراز

تاریخ دریافت: ۹۸/۰۴/۲۱؛ تاریخ پذیرش: ۹۸/۰۴/۱۹

چکیده

به منظور مکان‌یابی QTL‌های مرتبط با تنشیه‌های اسمزی در مرحله جوانه‌زنی و تعیین سهم هر QTL در تنوع فنتوپیی صفات ۷۴ لاین نسل هشتم تلاقي اهلی طارم × ندا در دانشگاه گنبد کاووس در سال ۱۳۹۶ مورد مطالعه قرار گرفتند. نقشه پیوستگی بر اساس ۴۰ نشانگر ISSR، ۱۶ نشانگر SSR (با ۲۶ آلل تکثیرشده چند شکل)، دو نشانگر IRAP (۷ آلل تکثیرشده چند شکل) و یک نشانگر iPBS (با ۳ آلل تکثیرشده چند شکل) روی ۷۴ فرد جمعیت F8، نشانگرها را به ۱۲ گروه پیوستگی متعلق به ۱۲ کروموزوم برنج با طول نقشه برابر با ۱۴۹۱ سانتی‌مترگان و فاصله بین دو نشانگر مجاور برابر با ۱۳۰۷ سانتی‌مترگان مناسب کرد. مؤلفه‌های جوانه‌زنی شامل درصد جوانه‌زنی، طول کلتوپتیل، طول ریشه‌چه و طول ساقه‌چه ثبت شد. در شرایط نرمال ۹ مکان ژنی رديابی شد. برای طول ریشه‌چه پنج مکان ژنی روی کروموزوم‌های ۳، ۵، ۶ و ۷ و برای طول ساقه‌چه چهار مکان ژنی شناسایی شد که روی کروموزوم‌های ۱ و ۵ و ۷ و ۹ قرار داشتند. دو مکان ژنی در شرایط وجود مانیتول برای طول کلتوپتیل روی کروموزوم ۶ رديابی شد. برای طول ریشه‌چه هفت QTL رديابی شد که روی کروموزوم‌های ۳، ۴، ۶ و ۷ قرار داشتند. برای طول ساقه‌چه چهار مکان ژنی روی کروموزوم‌های ۴ و ۶ رديابی شد که بین ۸ تا ۱۱ درصد از تنوع فنتوپیی صفت را توجیه کردند. دو مکان ژنی برای طول ریشه‌چه روی کروموزوم‌های ۵ و ۸ رديابی شد در این بین ۸ تا ۱۴/۹ درصد از تنوع فنتوپیی صفت را تغییرات فنتوپیی صفت را توجیه کردند. برای طول ساقه‌چه نیز شش مکان ژنی رديابی شد که روی کروموزوم‌های ۵، ۷ و ۸ قرار داشتند و به ترتیب ۸/۷۵، ۹/۱۵، ۱۱/۲۵، ۹/۸ و ۱۳/۶ را توجیه کردند. در تنش حاصل خشکی حاصل از پلی‌اتیلن‌گلایکول نیز یک مکان ژنی برای درصد جوانه‌زنی روی کروموزوم ۲ و در موقعیت ۷۸ سانتی‌مترگان از ابتدای کروموزوم رديابی شد که ۱۰/۳ درصد از تنوع فنتوپیی صفت را توجیه کرد.

واژه‌های کلیدی: پلی‌اتیلن‌گلایکول، شوری، مانیتول، نقشه پیوستگی، QTL

مقدمه

گیاهی است، چراکه استقرار موفق گیاه و عملکرد نهایی آن را تضمین می‌کند (Hejazi and Kaffashi Sedghi, 2000).

استفاده از ارقام با قدرت جوانه‌زنی بالا در نواحی گرمسیری که با تنش خشکی مواجه هستند، امری ضروری است. به طوری که امروزه قدرت جوانه‌زنی بالا یکی از صفاتی است که در ایجاد و توسعه ارقام برنج اصلاح شده موردنظر جهان را

برنج (*Oryza sativa L.*) یکی از مهم‌ترین گیاهان زراعی در جهان است و غذای بیش از ۳ میلیارد از مردم جهان را تأمین می‌کند (Bao et al., 2019). خشکی یکی از مهم‌ترین تنش‌های محدود کننده تولید برنج در اکوسیستم‌های گرمسیری و دیم است (Bimpong et al., 2011). جوانه‌زنی یکی از مهم‌ترین مراحل زیستی و تعیین‌کننده در چرخه رشد گونه‌های

(Sabouri et al., 2010) ردیابی کردند. صبوری و همکاران مکان‌های ژنی مرتبط با سرعت جوانه‌زنی، طول ریشه‌چه و طول ساقه‌چه را در شرایط تنش اسمزی حاصل از سوربیتول در ارقام برنج ایرانی روی کروموزوم ۱ ردیابی کردند. هو و همکاران (2007) در جمعیت لاین‌های نوترکیب حاصل از تلاقی IRAT109 و Zhenshan سه مکان ژنی برای شاخص مقاومت به خشکی و طول کلئوپتیل شناسایی کردند. راناواکی و همکاران (Ranawake et al., 2008) مکان‌های مرتبط با جوانه‌زنی در دماهای پایین را ردیابی کردند و عنوان کردند بازوی بلند کروموزوم ۷ مسئول کنترل خصوصیات مرتبط با جوانه‌زنی در دماهای پایین است.

هدف از اجرای این تحقیق مکان‌یابی QTL‌های مرتبط با تحمل به تنش اسمزی در مرحله جوانه‌زنی برنج، تهیه نقشه پیوستگی و تعیین سهم هر QTL در تنوع فنتیپی صفت مربوطه به کمک نشانگرها بود.

مواد و روش‌ها

مواد گیاهی مورداستفاده در پژوهش حاضر ۷۴ لاین حاصل از جمعیت لاین‌های نوترکیب نسل هشتم ارقام ندا \times اهلمنی- طارم بود. سه آزمایش مجزا شامل در شرایط تنش حاصل از مانیتول، پلی‌اتیلن گلایکول و NaCl در قالب طرح کاملاً تصادفی در پتری‌دیش‌هایی به قطر ۹ سانتی‌متر با ۲ تکرار صورت پذیرفت. تعداد ۱۰۰ عدد بذر سالم از ۷۴ لاین جمعیت F8 حاصل از تلاقی اهلمنی طارم و ندا انتخاب شدند. بذرها با محلول ۲ درصد هیپوکلریت سدیم برای ۱۰ دقیقه استریل و سپس سه بار با آب مقطار شستشو شدند. بذرها به ظروف پتری استریل شده با اتوکلاو (دمای ۱۲۱ درجه، فشار ۱/۵ اتمسفر به مدت ۲۰ دقیقه) روی کاغذ صافی استریل قرار داده شدند و تیمارهای مانیتول و پلی‌اتیلن گلایکول برای ایجاد تنش خشکی (۱۵-۱۰ بار) و NaCl (۱۲ دسی‌زیمنس بر متر) برای ایجاد تنش شوری اعمال شدند. برای محاسبه مقدار لازم از رابطه وانت‌هوف استفاده شد:

$$\text{Øs} = m \cdot I \cdot R \cdot T \quad [1]$$

که در این رابطه Øs پتانسیل اسمزی، m مولاریته، I ضریب یونی، R عدد ثابت ۰/۰۸۳ و T دمای کلوین است.

پتری‌دیش‌ها درون دستگاه ژرمیناتور در دمای ۲۵ درجه سانتی‌گراد و رطوبت ۷۰ درصد و تاریکی به مدت یک هفته قرار داده شدند. تعداد بذرها جوانه‌زده برای هر یک از لاین‌ها در ۲۴، ۴۸، ۷۲، ۹۶، ۱۲۰، ۱۴۴، ۱۶۸ ساعت پس از قرار

می‌گیرد (Sabouri et al., 2008). برخی از گیاهان قادرند در مواجهه با تنش اسمزی میزان پتانسیل اسمزی خود را کاهش دهند و موجب آماس سلولی شوند که حساسیت گیاهان به این کاهش پتانسیل اسمزی با تغییر غلظت نمک تغییر می‌کند. تنظیم اسمزی از طریق ترکیبات آلی نیازمند صرف انرژی است که در حالت عدم حضور تنش می‌تواند به صرف رشد برسد، از این‌رو گیاه در شرایط تنش با کاهش رشد رویرو است (Sabouri et al., 2014).

با پیشرفت‌هایی که در زمینه اصلاح مولکولی نباتات و استفاده از جمعیت‌های نقشه‌بایی، روش‌های تکنولوژی نشانگرهای مولکولی، نقشه‌های پیوستگی و مکان‌یابی ژن‌های کنترل‌کننده صفات کمی (QTL) صورت گرفته، اصلاح برای تحمل به شوری، از طریق افزایش تحمل به تنش شوری و معرفی واریتهای متحمل از طریق روش‌های بهنزاوی Takehisa et al., 2008؛ Haq et al., 2008) تسهیل شده است (2004). همچنین استفاده از روش‌های مهندسی ژنتیک به عنوان یکی از عوامل تولید و معرفی ارقام متتحمل به تنش شوری مورد شناسایی قرار گرفته است (Munns and Tester, 2008). مکان‌یابی QTL‌ها ابزار مفید و قابل دسترسی برای بهنزاوی گیاهی در زمینه روش‌شن شدن اساس ژنتیکی صفات مرتبط با تحمل به تنش محسوب می‌شود (Rabiei et al., 2014).

صبوری و همکاران (Sabouri et al., 2014) شناسایی مکان‌های ژنی کنترل‌کننده مؤلفه‌های جوانه‌زنی در جمعیت لاین‌های نوترکیب برنج ایرانی را تحت شرایط مختلف تنش اسمزی با استفاده از ۱۳۶ نشانگر SSR و ۲۱ ترکیب پرایمری چند شکل موردنرسی قرار دادند و برای طول ریشه‌چه سه QTL، طول کلئوپتیل سه QTL، طول ساقه‌چه پنج و برای درصد جوانه‌زنی دو QTL تحت تنش اسمزی مانیتول مکان‌یابی کردند. QTL‌های شناسایی شده برای طول کلئوپتیل روی کروموزوم‌های ۱، ۳ و ۴ قرار داشتند. اثر افزایشی مکان‌های مربوط به طول کلئوپتیل از ۰/۴۶- تا ۰/۲۴- میلی‌متر متغیر بود.

ربیعی و همکاران (Rabiei et al., 2014) شناسایی QTL‌های مرتبط با تحمل به شوری و خشکی در دو مرحله جوانه‌زنی و گیاهچه‌ای جمعیت F2:4 با استفاده از ۱۰۵ نشانگر AFLP و ۱۳۱ نشانگر ریزماهواره ردیابی کردند که یک QTL برای سرعت جوانه‌زنی، یک QTL برای درصد جوانه‌زنی و یک QTL برای طول ساقه‌چه در کروموزوم ۱

برای تهیه نقشه ژنتیکی از نرمافزار Map Manager (Manly and Olson, 1999) و از نرمافزار Qgene (Nelson, 1997) برای مکان‌بایی QTL‌ها استفاده شد. نام‌گذاری QTL‌ها نیز بر اساس روش مک کوچ و همکاران (Mc Couch et al., 2008) صورت گرفت. برای تهیه نقشه ازتابع کوزامبی (Kosambi, 1994) استفاده شد. حد آستانه LOD برای تهیه نقشه لینکازی ۳ در نظر گرفته شد.

نتایج و بحث

مقایسه میانگین بین لاین‌ها

مقایسه میانگین بین لاین‌ها در شرایط نرمال نشان داد لاینهای ۱۳ و ۲۲ بیشترین درصد جوانهزنی، لاین‌های ۵۳ و ۷۳ بیشترین طول کلئوپتیل، لاین ۲۲ بیشترین طول ریشه‌چه و لاین ۱۲ بیشترین طول ساقه‌چه را دارا بودند. در شرایط تنفس حاصل از مانیتول لاین‌های ۶۲، ۵۲، ۵۳، ۵۵ و ۵۴ بیشترین میزان را برای هر چهار صفت درصد جوانهزنی، طول کلئوپتیل، طول ریشه‌چه و ساقه‌چه داشتند و لاین ۲۰ نیز از لاین‌های با کمترین میزان از این صفات بود. در شرایط تنفس شوری لاین‌های ۴۹، ۴۸، ۵۶ و ۴۰ به ترتیب برای صفات درصد جوانهزنی، طول کلئوپتیل طول ریشه‌چه و طول ساقه‌چه بیشترین میزان را دارا بودند و لاین‌های ۶۶، ۲۳، ۱۵ و ۴ به ترتیب از نظر این صفات دارای کمترین میزان بودند. در شرایط تنفس حاصل از پلی‌اتیلن‌گلایکول لاین‌های ۳۵ و ۳۵ به ترتیب دارای بیشترین و کمترین درصد جوانهزنی بودند. لاین ۶۱ دارای بیشترین طول کلئوپتیل و لاین ۴۰ دارای بیشترین طول ریشه‌چه بود. همچنان لاین‌های ۳۷ و ۴۰ دارای بیشترین طول ساقه‌چه در شرایط تنفس حاصل از پلی‌اتیلن‌گلایکول بودند (جدول ۱).

تهیه نقشه پیوستگی

بعد از تعیین ژنتیپ افراد، داده‌های حاصل وارد نرمافزار (Manly and Olson, 1999) MapManager QTX 17 گردید.

گرفتن در پتری دیش، شمارش شدند و ۱۴ روز پس از کشت قرأت طول ریشه‌چه، طول ساقه‌چه و طول کلئوپتیل با استفاده از کولیس و به میلی‌متر اندازه‌گیری شد. درصد جوانهزنی (PG) بر اساس شاخص جوانهزنی که خروج حداقل ۲ میلی‌متر ریشه‌چه از پوسته بذر است، طبق رابطه زیر محاسبه شد (Ranai and De Santana., 2006).

$$PG = \frac{Ni}{N} \times 100 \quad [2]$$

که در آن، PG: درصد جوانهزنی، Ni: تعداد بذرها جوانهزنده در روز ۱ام و N: تعداد کل بذرها است.

بهمنظور استخراج DNA ژنومی از روش CTAB^۱ (Saghi Maroofet al., 1994) استفاده شد. برای تعیین غلظت و کیفیت DNA استخراج شده از ژل آگارز یک درصد استفاده شد. به این صورت که از الکتروفورز افقی مدل (ساخت انگلیس) استفاده شد. هر کدام از نمونه‌ها در طی الکتروفورز بر روی ژل نوارهای تشکیل دادند که با استفاده از آن‌ها کیفیت DNA هر کدام از نمونه‌ها برسی شد. واکنش زنجیره‌ای پلی‌مراز در حجم ۱۰ میکرولیتر برای هر نمونه DNA انجام شد. به این ترتیب که ابتدا به میزان ۲/۵ میکرولیتر DNA ژنومی رقیق شده (۳۰ نانوگرم)، در هر تیوب PCR تقسیم شد، سپس ۷/۵ میکرولیتر از محلول (غیر از DNA ژنومی) به هر تیوب اضافه و پیپتاژ گشت. قابل توجه است که برای تهیه مخلوط واکنش در یک میکرولیپ ۱/۵ میلی‌لیتری به ترتیب آب دو بار تقطیر، محلول مادری (با ترکیب Taq DNA Polymerase محصول شرکت سیناژن با غلظت ۰/۰۰۰ واحد بر میکرولیتر، بافر MgCl₂ با ۰/۰۰۰ میلی‌مolar)، آغازگر مستقیم و آغازگر معکوس اضافه شد. سپس مخلوط واکنش با دور ۱۰۰۰ سانتریفیوژ شد و در تیوب‌های PCR حاوی DNA تقسیم شد.

فرآورده‌های واکنش زنجیره پلی‌مراز با استفاده از الکتروفورز ژل پلی‌اکریل‌آمید ۶ درصد تفکیک شدند و رنگ-آمیزی ژل‌ها با استفاده از روش سریع نیترات نقره صورت گرفت (An et al., 2009).

^۱ Cetyl trimethyl ammonium bromide

جدول ۱: مقایسه میانگین بین لایه های برای صفات جوانشی در شرط نرمال و نتش شودی و خشکی.
Table 1. Comparison between lines for germination traits in normal conditions and salinity and drought stresses

Table 1. Continued

لاین Line	درصد Percent of germination length	نیش Mannitol stress				نیش Salt stress				نیش PEG stress			
		طول Root length	کنوتیبل Coleoptile	رادیکل Radicle	ساقچه Dishanche	طول Root length	کنوتیبل Coleoptile	رادیکل Radicle	ساقچه Dishanche	طول Root length	کنوتیبل Coleoptile	رادیکل Radicle	ساقچه Dishanche
26	99	4.01	16.5	8.33	62.66	1.23	2.41	2.01	78.66	1.26	1.23	2.41	78.66
27	98.66	4.5	10.33	10.6	66.66	1.03	2.08	1.85	77.33	1.38	3.86	2.86	78.66
28	97.66	4.85	8.33	11.66	56	1.3	1.9	1.8	62.66	1.23	1.41	2.61	73.33
29	96	4.06	11.66	10.96	60	1.13	1.23	1.45	76	1.56	3.13	1.83	78.66
30	96	6.63	16.9	10.83	61.33	1.23	1.93	1.76	74.66	1.6	3.41	3.25	78.66
31	95	3.63	15.5	12.03	60	1.5	3.13	2.43	70.66	1.18	1.02	1.95	78.66
32	99	3.58	16.1	10.23	74.66	1.48	2.53	2.65	70.66	1.46	1.66	1.8	73.33
33	94.33	5.53	12.51	11.66	76	1.2	1.65	1.41	72	1.23	1.71	2.6	78.66
34	94.66	4.6	14.6	11.5	60	1.06	1.7	1.46	72	1.38	3	2.63	78.66
35	98.33	4.65	8.8	8.96	72	1.4	1.26	1.76	69.33	1.03	2.8	2.55	80
36	94.66	4.6	8.33	10.4	68	1.1	1.35	1.1	77.33	1.23	2.71	2.66	78.66
37	96.33	4.5	10.33	6.66	62.66	1.33	1.53	1.36	62.66	1.23	2.16	3.26	77.33
38	99	4.5	8.66	7.23	66.66	1.4	1.2	1.46	70.66	1.01	4.13	2.33	77.33
39	98	3.33	10.66	7.4	56	1.1	1.06	1.16	80	1.35	4.88	4.46	72
40	99	4.06	8.66	8	60	1.33	1.45	1.33	80	1.68	7.48	6.35	76
41	95.66	3.53	7.66	6.33	61.33	1.31	1.7	1.31	76	1.75	4.83	4.55	77.33
42	97.33	3.58	7.33	7.33	60	1.46	1.2	1.61	78.66	1.36	5.75	5.75	76
43	98.33	4.06	11	7.5	74.66	1.18	1.2	1.18	78.66	1.11	5.6	4.51	78.66
44	96	3.73	8	7.9	76	1.46	1.3	1.6	73.33	2.23	5.05	5.13	78.66
45	5.66	8.5	3.93	68	1.18	1.2	1.18	78.66	1.26	6.53	5.13	78.66	1.45
46	99	3.96	8.43	5.66	74.66	1.36	1.2	1.43	78.66	1.56	5.81	4.83	76
47	96	3.7	10.33	7.93	76	1	1.13	1	78.66	1.48	6.2	5.56	76
48	95	4.06	9.53	7.33	68	1.2	2.75	1.78	73.33	1.15	9.21	5.2	76
49	96	3.43	10.33	6.86	53.33	1.85	5.56	3.86	80	1.56	6.31	4.96	74.66
50	96	3.53	7.8	7.86	68	1.38	7.68	2.96	77.33	1.75	7.1	6.21	70.66
LSD	2.521	0.802	6.766	0.163	0.642	1.525	0.291	0.561	6.766	0.163	0.642	0.561	8.634

نیش حاصل از نیشگیر

کنوتیبل Coleoptile

رادیکل Radicle

ساقچه Dishanche

دشنه Dishanche

جدول ١ . ادوات

تشخیص حاصل از تأثیرات گلارکوکول										تشخیص شروعی											
Normal					Mannitol stress					Salt stress					PEG stress						
درجه حرارت	مقدار	طول	مقدار	طول	مقدار	مقدار	طول	مقدار	طول	مقدار	مقدار	طول	مقدار	مقدار	طول	مقدار	مقدار	طول	مقدار		
آلتی لاین	Percent of germination	Coleoptile Radicle Plumule length	length	Percent of germination	Coleoptile Radicle Plumule length	مقدار	طول	ساقه چه	کوتونپل	مقدار	طول	ساقه چه	کوتونپل	مقدار	طول	ساقه چه	کوتونپل	مقدار	طول		
51	99	4.6	4.9	7.33	74.66	2.05	4.58	4.03	78.66	1.31	8.23	4.01	77.33	1.18	4.36	4.01	74.66	1.38	5.33	3.86	
52	98	4.6	4.8	7.33	73.33	1.9	6.51	4.55	78.66	1.45	4.48	5.46	73.33	1.1	5.75	4.21	77.33	1.33	4.45	4.58	
53	97	7.11	9.96	7.33	80.03	10.33	1.38	5.95	3.06	77.33	1.73	4.68	5.81	76	1.33	4.45	4.58	74.66	1.38	5.33	3.86
54	96.33	4.93	6.66	6.33	77.33	6.33	1.38	5.48	3.83	72	1.36	5.75	5.91	72	1.63	4.85	4.45	78.66	1.4	4.16	4.21
55	98.33	4.5	7.66	6.33	6.33	6.33	1.45	8.21	2.21	76	2.26	8.15	5.26	76	1.45	4.11	4.03	74.66	1.33	4.45	4.58
56	98.33	3.43	4.33	6.33	68	65.33	1.36	4.45	3.1	76	2.25	6.88	5.7	76	1.45	4.11	4.03	77.33	1.33	5.18	4.46
57	98.33	4.5	3.66	4.9	68	68	1.26	3	2.63	73.33	1.13	7.8	5.11	73.33	1.36	5.18	4.46	78.66	1.45	5.58	4.7
58	95.66	3.33	5	4.46	70.66	4.5	1.33	3.66	2.03	78.66	2.16	6.57	5.56	70.66	1.45	5.58	4.7	77.33	1.56	5.56	4.7
59	96	3.53	2.33	3.9	76	1.08	4.91	2.38	77.33	1.56	7.5	5.56	76	1.58	4.75	5.2	74.66	3.53	4.05	4.51	
60	96.66	4.25	2.36	3.9	76	1.55	3.41	3.18	80	1.53	4.65	4.46	74.66	1.38	5.58	3.31	77.33	1.21	5.96	4.66	
61	96	4.5	2.73	3.66	64	1.5	3.41	3.18	80	1.53	4.98	4.36	72	1.38	5.58	3.31	76	1.55	3.75	4.7	
62	99	4.35	5.66	4.33	80	2.03	5.5	2.45	77.33	1.53	6.28	6.13	76	1.21	5.96	4.66	74.66	1.56	4.16	4.85	
63	99	3.96	4.33	4.4	73.33	1.36	3.51	2.73	74.66	1.53	6.28	6.13	77.33	1.46	4.16	4.85	78.66	1.45	5.58	4.7	
64	97.66	4.06	5	5.6	77.33	1.58	4.58	2.7	76	1.15	6.55	5.11	77.33	1.46	4.16	4.85	74.66	1.56	4.16	4.85	
65	98.66	3.33	4	5.9	73.33	1.55	3.25	2.35	76	1.73	6.16	7.33	76	1.46	4.16	4.85	77.33	1.46	4.16	4.85	
66	99	4	4.33	4.66	74.66	1.55	4	1.8	60	1.23	4.33	2.93	78.66	1.38	5.75	4.95	74.66	1.56	4.16	4.85	
67	98.66	3.96	8	3.83	68	2.78	5.08	2.86	68	1.43	5	2.73	72	1.18	7.03	4.5	74.66	1.33	4.45	4.58	
68	95	4.75	1.4	13.83	49.33	1.33	3.66	1.56	74.66	1.36	4.16	3.45	72	1.38	6.21	5.58	77.33	1.33	6.46	4.55	
69	95	3.96	4.33	3.9	69.33	1.2	4.36	2.76	80	1.06	3.6	76	1.33	6.46	4.55	78.66	1.46	4.16	4.85		
70	99	4.75	9.83	10.16	76	1.36	3.84	3.43	70.66	1.06	3.26	64	64	1.61	8.08	5.45	74.66	1.56	4.16	4.85	
71	98	3.96	6.83	11.5	69.33	1.36	4.01	2.98	65.33	1.43	3.01	2.58	74.66	1.5	6.96	4.7	77.33	1.28	5.25	4.28	
72	98.66	3.81	11.33	8.66	66.66	1.41	5.5	3.15	77.33	1.3	4	4.2	74.66	1.11	5.18	4.35	76	1.78	5.11	4.35	
73	6.93	11	10.83	76	1.46	6.1	2.78	76	1.31	3.16	3.83	72	1.6	5.11	4.35	77.33	1.3	4.46	4.55		
74	99	3.81	12.33	10.33	60	1.61	5.55	2.98	80	1.3	4.46	3.91	72	1.6	7.91	5.31	74.66	1.56	4.16	4.85	
LSD	2.521	0.8902	6.766	0.163	0.642	0.561	5.525	0.991	6.766	0.163	0.642	0.561	8.634	0.807	2.336	1.630	74.66	1.56	4.16	4.85	

جوانه‌زنی در شرایط نرمال

برای طول ریشه‌چه پنج مکان ژنی روی کروموزوم‌های ۳، ۵ (دو مورد)، ۶ و ۷ ردیابی شد که به ترتیب میزان LOD آن‌ها برابر با ۳/۱۸۸، ۴/۹۵۱، ۳/۹۰۵، ۴/۹۵۱ و ۳/۶۴۷ بود (جدول ۲). در این میان qRANO-5b qPLNO-5b و qPLNO-1 (دو مورد) و ۷ قرار داشتند. از واریانس فنوتیپی صفت را توجیه کرد. برای طول ساقه‌چه چهار مکان ژنی شناسایی شد که روی کروموزوم‌های ۱، ۵ (دو مورد) و ۶ قرار داشتند. توансنت به ترتیب ۱۱/۶۵ و ۱۲/۲۵ درصد از واریانس فنوتیپی صفت را توجیه کرد. آلل‌هایی که از والد کاهش‌دهنده صفات به ارث رسیده‌اند، منفی و آلل‌هایی که از والد افزایش‌دهنده صفات به ارث رسیده‌اند، مثبت هستند.

نقشه پیوستگی بر اساس ۴۰ نشانگر SSR ۱۶ نشانگر ISSR (با ۷۶ آلل تکثیرشده چند شکل)، دو نشانگر IRAP (۷ آلل تکثیرشده چند شکل) و یک نشانگر iPBS (با ۳ آلل تکثیرشده چند شکل) روی ۷۴ فرد جمعیت F8 نشانگرها را به ۱۲ گروه پیوستگی متعلق به ۱۲ کروموزوم برج مطابق با طول نقشه بر اساس تابع کوزامبی (Kosambi, 1994) برابر با ۱۴۹۱ سانتی‌مورگان و فاصله بین دو نشانگر مجاور برابر با ۱۳/۰۷ سانتی‌مورگان مناسب کرد. با توجه به اینکه فاصله متوسط بین نشانگرها کمتر از ۲۰ سانتی‌مورگان بود؛ بنابراین Lander and Botstein, (1989)، این نقشه می‌تواند برای مکان‌یابی QTL‌ها مورد استفاده قرار گیرد. این نشانگرها تراکم متفاوتی برای کروموزوم‌های مختلف داشتند، به طوری که کروموزوم ۸ کمترین تعداد نشانگر را داشت.

جدول ۲. های شناسایی شده برای مؤلفه‌های جوانه‌زنی در جمعیت لاین‌های نوترکیب برج ایرانی تحت شرایط نرمال

Table 2. Identified QTLs for germination components in the population of Iranian rice recombinant lines under normal conditions

صفت	Trait	QTL	نشانگرهای مجاور*	کروموزوم	موقعیت	اثر افزایشی	ضریب تبیین	جهت آلل	Direction of ph
			Flanking markers*	Chr.	LOD	Position	Additive effect	R ²	
طول	qRANO -3	<u>ISSR11-2-RM504</u>		3	3.188	92	2.166	9	ATM
ریشه‌چه	qRANO -5a	<u>RM39-RM194</u>		5	3.905	52	-2.758	10.8	NAD
Radicle length	qRANO -5b	<u>ISSR4-3-ISSR9-4</u>		5	4.951	94	-2.198	13.25	NAD
	qRANO -6	<u>ISSR9-1-ISSR6-3</u>		6	3.202	122	-6.832	9.05	NAD
	qRANO -7	<u>ISSR8-6-RM248</u>		7	3.647	82	-2.592	10.2	NAD
طول	qPLNO-1	<u>RM10748-RM10773</u>		1	4.256	102	-1.633	11.65	NAD
ساقه‌چه	qPLNO -5a	<u>RM39-RM194</u>		5	3.443	52	-1.927	9.65	NAD
Plumule length	qPLNO -5b	<u>ISSR10-2-ISSR4-3</u>		5	4.522	92	-1.625	12.25	NAD
	qPLNO -7	<u>ISSR4-6-RM500</u>		7	3.318	46	-1.408	9.35	NAD

*نشانگرهایی که زیرشان خط کشیده شده است به QTL مربوطه نزدیک‌تر هستند

*Markers lined up are closer to the respective QTL

صفت را توجیه کردند. برای طول ساقه‌چه چهار مکان ژنی روی کروموزوم‌های ۴ و ۶ ردیابی شد که بین ۸ تا ۱۱ درصد از تنوع فنوتیپی صفت را توجیه کردند. این مکان‌های ژنی به ترتیب دارای LOD ۰۱۵/۳، ۳/۲۲۴، ۴/۰۳ و ۳/۳۹۴ بودند. مردانی و همکاران (Mardani et al., 2013) دو مکان ژنی روی کروموزوم‌های ۱ و ۴ در شرایط تنش خشکی و یک QTL روی کروموزوم ۴ در شرایط بدون تنش در برج ردیابی کردند که این QTL به تهایی ۱۵/۳۳ درصد از تنوع فنوتیپی طول کلئوپتیل را توجیه کرد (جدول ۳).

جوانه‌زنی در شرایط تنش مانیتور

دو مکان ژنی در شرایط وجود مانیتور برای طول کلئوپتیل روی کروموزوم ۶ ردیابی شد که به ترتیب در نزدیکی نشانگرهای RM111 و ISSR9-1 قرار داشتند. آلل qCLMA-6a و qCLMA-6b توجیهی بیش از ۹ درصد تغییرات فنوتیپی صفت مربوطه داشتند. برای طول ریشه‌چه هفت آلل ردیابی شد که روی کروموزوم‌های ۳، ۶، ۴، ۷ و ۲ قرار داشتند. این مکان‌های ژنی از ۹ تا ۱۶ درصد از تنوع فنوتیپی

جدول ۳. QTL‌های شناسایی شده برای مؤلفه‌های جوانه‌زنی در جمعیت لاین‌های نوترکیب برنج ایرانی تحت شرایط تنش حاصل از مانیتول.
Table 3. Identified QTLs for germination components in the population of Iranian rice recombinant lines under mannitol stress conditions

صفت trait	QTL	نشانگرهای مجاور* Flanking markers*	کروموزوم Chr.	LOD	موقعیت Position	اثر افزایشی Additive effect	ضریب R ²	جهت آآل Direction of ph
Coleoptile length	طول کلئوپتیل qCLMA-6a	<u>IRAP17-1-RM111</u>	6	3.377	52	0.189	9.5	ATM
	qCLMA-6b	<u>ISSR9-1-ISSR6-2</u>	6	3.449	90	0.373	9.65	ATM
	qRAMA -3	<u>ISSR11-2-RM504</u>	3	3.84	92	-1.017	10.65	NAD
	qRAMA -4a	<u>ISSR8-3-RM252</u>	4	3.363	44	-1.054	9.45	NAD
	qRAMA -4b	<u>IRAP18-3-ISSR4-1</u>	4	3.211	108	-1.504	9.05	NAD
	qRAMA -6a	<u>ISSR2-3-ISSR4-5</u>	6	5.387	32	1.784	14.25	ATM
Radicle length	qRAMA -6b	<u>IRAP17-1-RM111</u>	6	6.22	52	1.079	16.05	ATM
	qRAMA -6c	<u>ISSR9-1-ISSR6-2</u>	6	5.916	116	4.288	15.4	ATM
	qRAMA -7	<u>ISSR12-1-ISSR2-2</u>	7	4.343	22	2.077	11.85	ATM
Plumule length	طول qPLMA-4	<u>IRAP18-2-ISSR1-4</u>	4	3.015	106	-0.639	8.55	NAD
	ساقه‌چه qPLMA -6a	<u>ISSR2-3-ISSR4-5</u>	6	3.224	32	0.681	9.1	ATM
	qPLMA -6b	<u>IRAP17-1-RM111</u>	6	4.03	52	0.429	11.1	ATM
	qPLMA -6c	<u>ISSR9-1-ISSR6-2</u>	6	3.394	124	1.036	9.5	ATM

*نشانگرهایی که زیرشان خط کشیده شده است به QTL مربوطه نزدیک‌تر هستند.

*Markers lined up are closer to the resective QTL

برابر با ۵/۰۷ و ۵/۰۵۸ هستند که دارای ضریب تبیین بالایی هستند. صبوری (Saboury, 2010) در بررسی صفات کمی مرتبط با جوانه‌زنی در شرایط تنش شوری، شش مکان ژنی را ردیابی کردند که از این‌ین ۱۰ qGR-10 برای سرعت جوانه‌زنی، توانست بیش از ۶۰ درصد از تنوع فنتویپی صفت را توجیه کند که بالاترین درصد توجیه تغییرات را داشت. ربیعی و همکاران (Rabiee et al., 2014) پژوهشی به منظور شناسایی مکان‌های ژنی ناشی از تنش شوری روی کروموزوم ۱ برنج انجام دادند که توانستند در برای طول ریشه‌چه یک مکان ژنی ردیابی کنند.

جوانه‌زنی در شرایط تنش شوری

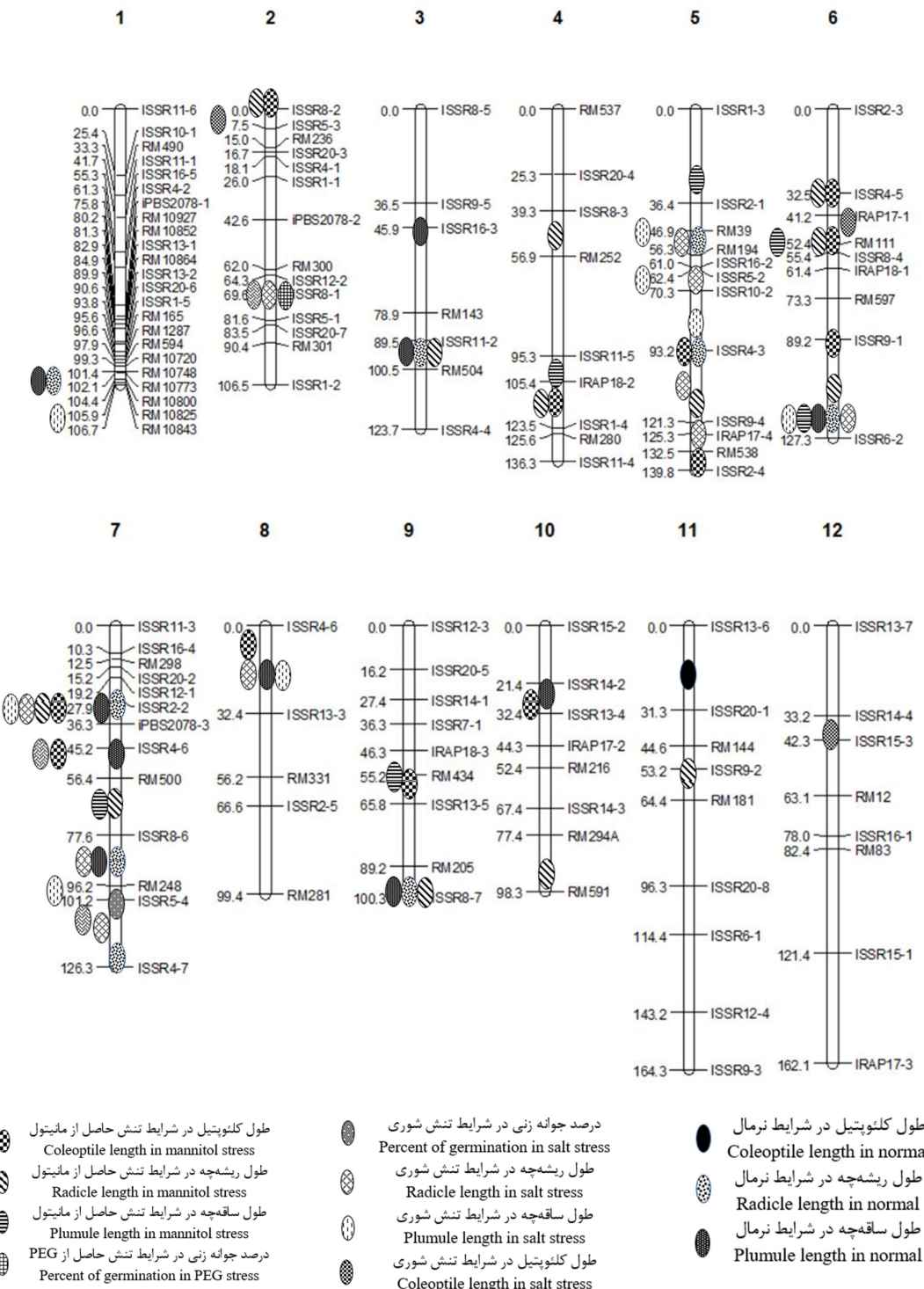
دو مکان ژنی برای طول ریشه‌چه روی کروموزوم‌های ۵ و ۸ ردیابی شد در این‌ین ۸ qRASA-8 توانست ۱۴/۹ درصد از تغییرات فنتویپی صفت را توجیه کند. برای طول ساقه‌چه نیز شش مکان ژنی ردیابی شد که روی کروموزوم‌های ۵ (سه مورد)، ۷ (دو مورد) و ۸ قرار داشتند و به ترتیب ۸/۷۵، ۹/۱۵، ۹/۸، ۱۱/۲۵ و ۱۳/۶ و ۱۵/۷ درصد از تغییرات فنتویپی صفت را توجیه کردند (جدول ۴). همان‌طور که در جداول ۴ و ۵ قابل مشاهده است qSL-7b و qSL-8 به ترتیب دارای LOD

جدول ۴. QTL‌های شناسایی شده برای مؤلفه‌های جوانه‌زنی در جمعیت لاین‌های نوترکیب برنج ایرانی تحت شرایط تنش شوری
Table 4. Identified QTLs for germination components in the population of Iranian rice recombinant lines under salt stress conditions

صفت trait	QTL	نشانگرهای مجاور* Flanking markers*	کروموزوم Chr.	LOD	موقعیت Position	اثر افزایشی Additive effect	ضریب R ²	جهت آآل Direction of ph
Radicle length	طول ریشه‌چه qRASA -5c	<u>ISSR4-3-ISSR9-4</u>	5	3.021	104	1.354	8.55	ATM
	qRASA -8	<u>ISSR4-6-ISSR13-3</u>	8	5.69	16	2.488	14.9	ATM
	qPLSA -5a	<u>RM39-RM194</u>	5	3.098	52	0.811	8.75	ATM
	qPLSA -5b	<u>ISSR5-2-ISSR10-2</u>	5	3.245	64	0.962	9.15	ATM
	qPLSA -5c	<u>ISSR10-2-ISSR4-3</u>	5	4.090	88	0.861	11.25	ATM
	qPLSA -7a	<u>ISSR2-2-iPBS2078-3</u>	7	3.509	28	1.834	9.8	ATM
Plumule length	qPLSA -7b	<u>RM248-ISSR5-4</u>	7	5.107	100	0.932	13.6	ATM
	qPLSA -8	<u>ISSR4-6-ISSR13-3</u>	8	6.058	22	1.134	15.7	ATM

*Markers lined up are closer to the resective QTL

*نشانگرهایی که زیرشان خط کشیده شده است به QTL مربوطه نزدیک‌تر هستند.



شکل ۱. نقشه پیوستگی و موقعیت QTL‌های شناسایی شده برای صفات مورد بررسی در جمعیت لاین‌های اینبرد نوترکیب حاصل از تلاقی ندا × اهلمنی طارم.

Figure 1. Connected map and position of QTLs detected for the studied traits in the population of recombinant inbred lines of the Neda × Ahlemitarom cross.

در مطالعه ریبعی و همکاران (Rabiei et al., 2014) در تنش خشکی ناشی از پلی‌اتیلن‌گلایکول یک مکان ژنی برای درصد جوانه‌زنی روی کروموزوم ۱ کروموزوم ۱ ردیابی شد که آن برابر با ۳/۸۶ بود. همچنین برای طول ساقه‌چه روی کروموزوم ۱ یک مکان ژنی با LOD برابر با ۳/۵۶ ردیابی شد.

جوانه‌زنی در شرایط تنش خشکی

برای درصد جوانه‌زنی یک مکان ژنی روی کروموزوم ۲ و در موقعیت ۷۸ سانتی‌مورگان از ابتدای کروموزوم ردیابی شد که ۱۰/۳ درصد از تنوع فنتیپی صفت را توجیه کرد (جدول ۵).

جدول ۵. QTL‌های شناسایی شده برای مؤلفه‌های جوانه‌زنی در جمعیت لاین‌های نوترکیب برنج ایرانی تحت شرایط تنش PEG

Table 5. Identified QTLs for germination components in the population of Iranian rice recombinant lines under PEG stress conditions

جهت آآل Direction of ph	ضریب Coefficient R ²	تبیین Explained variation	اثر افزایشی Additive effect	موقعیت Position	کروموزوم Chr.	Flanking markers* نشانگرهای مجاور*	trait QTL
ATM	10.3	2.168	78	3.706	2	<u>ISSR8-1-ISSR5-1</u>	Percent of germination Drصد جوانه‌زنی

*نشانگرهایی که زیرشان خط کشیده شده است به QTL مربوطه نزدیک‌تر هستند

*Markers lined up are closer to the resective QTL

شرایط تنش حاصل از پلی‌اتیلن‌گلایکول یک مکان ژنی برای درصد جوانه‌زنی روی کروموزوم ۲ ردیابی شد. qCLMA-6a و qPLMA-6b و qRAMA-6b و qRANO-5a و qPLNO-5a و RM49 و RM39 بودند. هم‌مکانی این QTL‌ها در شرایط مختلف تنش اسمزی بیانگر کنترل ژنتیکی یکسان و اثر پلیوتروپیک برای این صفات در مرحله جوانه‌زنی است.

نتیجه‌گیری نهایی

با توجه به نتایج بدست آمده از این پژوهش می‌توان وجود اثر پلیوتروپی یا پیوستگی بین ژن‌ها کنترل‌کننده صفات موردنظری را نشان داد. در شرایط نرمال پنج مکان ژنی برای طول ریشه‌چه و چهار مکان ژنی برای طول ساقه‌چه ردیابی شد. برای طول ریشه‌چه نه مکان ژنی و برای طول ساقه‌چه ۱۱ مکان ژنی ردیابی شد. در شرایط تنش حاصل از مانیتول ۱۳ مکان ژنی ردیابی شد که دو QTL برای طول کلئوپتیل، هفت QTL برای طول ریشه‌چه و چهار QTL برای طول ساقه‌چه بود. در شرایط تنش شوری دو مکان ژنی برای طول ریشه‌چه و شش مکان ژنی برای طول ساقه‌چه ردیابی شد. در

منابع

- Bao, Y., Huang, L., Li, Y., Wang, M., Liang, Z., 2019. How different Nitrogen application rates affect yield composition and Nitrogen uptake of rice (*Oryza sativa* L.) in saline-sodic paddy field. Polish Journal of Environmental Studies. 28, 553-564.
- Bimpang, I.K., Serraj, R., Chin, J.H., Ramos, J., Mendoza, E.M.T., Hernandez, J.E., Mendioro, M.S., Brar, D.S., 2011. Identification of QTLs for drought-related traits in alien introgression lines derived from crosses of rice (*Oryza sativa* cv. IR64) × *O. glaberrima* under lowland moisture stress. Journal of Plant Biology. 54, 237-250.
- Haq, T. U., Akhtar, J., Gorham, J., Khalid, M., 2008. Genetic mapping of QTLs, controlling shoot fresh and dry weight under salt stress in rice cross between CO39×Moroberekan. Pakistan Journal of Botanical. 40, 2369-2381.
- Hejazi, A., Kaffashi Sedghi, M., 2000. Fundamentals of Physiology. Tehran University Press. [In Persian].
- Hu, S.P., Yang, H., Zou, G.H., Liu, H.Y., Liu, G.L., Mei, H.W., Run, C., Li, M.S., LUO, L.J., 2007. Relationship between coleoptile length

- and drought resistance and their QTL mapping in rice. *Rice Science*. 14, 13-20.
- Kosambi, D.D., 1944. The estimation of map distances from recombination values. *Annals of Eugenics*. 12, 172-175.
- Lander, E.S., Botstein, R., 1989. Mapping mendelian factors underlying quantitative trait using RFLP linkage maps. *Genetics*. 121, 185-199.
- McCouch, S.R., 2008. Gene Nomenclature System for Rice. *Rice* 1, 72-84.
- Manly, K.F., Olson, J.M., 1999. Overview of QTL mapping software and introduction to Map Manager QT. *Mammalian Genome*. 10, 327-334.
- Mardani, Z., Rabiei, B., Sabouri, H., Sobouri, A., 2013. Mapping of QTLs of Germination Characteristics under Nonstress and Drought Stress in Rice. *Rice Sciences*. 20, 391-399. [In Persian with English summary].
- Munns, R., Tester, M., 2008. Mechanisms of Salinity Tolerance. *Plant Biology*. 59, 651-81. Homeostasis in NaCl stress environments. *Plant Physiology*. 109, 735-742.
- Rabiei, B., Mardani, KH, Sabouri, H., Sabouri, A., 2014. The effect of rice chromosome 1 on traits associated with drought and salinity tolerance at germination and seedling stages. *Seed and Plant Improvement Journal*. 30, 1-16. [In Persian with English summary].
- Ranai, M.A., De Santana, D.G., 2006. How and why it measure the germination process. *Revista Brasileira de Botanica*. 29, 1-11.
- Ranawake, A.L., Ishii, T., Mori, N., Yoshida, S., Nakamura, C., 2008. Mapping quantitative trait loci for seedling vigor in rice using RFLPs. *Theoretical and Applied Genetics*. 92, 395-402.
- Sabouri, H., 2010. Mapping of QTLs of germination characteristics in rice using of microsatellite markers under saline condition. *Journal of Biology*. 23, 333-342
- Sabouri, H., Biabani, A., Gharavi, A. Gh., Dadras, A.R., Katouzi, M., 2008. Mapping of germination traits in rice using of microsatellite markers under osmotic stress caused by sorbitol. First Iranian Science and seed Technology Symposium. Gorgan University of Agriculture Science and Natural Resource. Gorgan. Iran. 12-13 Nov. [In Persian].
- Sabouri, H., Biabani, A., Sabouri, A., Mohammad Esmaili, M., 2010. The study of QTLs related to seed vigour under stress caused to Sorbitol in rice. *Journal of Plant Production*. 17, 123-136.
- Sabouri, H., Mohammad Alegh, S., Biabani, A., Dadras, A., Sabouri, A., Katouzi, M., Najjar Ajam, M., Pirasteh, M., Khatami Nejad, R., 2014. Identification of quantitative trait loci related to germination parameters in rice (*Oryza sativa L.*) recombinant inbred lines under different osmotic stresses. *Crop Biotechnology*. 8, 31-45.
- Takehisa, H., Shimodate, T., Fukuta, Y., Ueda, T., Yano, M., Yamaya, T., Kameya, T. Sato, T., 2004. Identification of quantitative trait loci for plant growth of rice in paddy field flooded with salt water. *Field Crops Research*. 89, 85-95.

Original article

Identification of gene locations affecting germination components in the Iranian recombinant inbred lines of rice (*Oryza sativa* L.) under different drought and salinity stresses

S. Sanchouli¹, M. Ghorbanzade Neghab², H. Sabouri³, M, Zare Mehrjerdi³

1. MSc. Student of Biotechnology, Higher Education Complex of Shirvan, Shirvan, Iran

2. Associate Professor of Plant Production, Higher Education Complex of Shirvan, Shirvan, Iran

3. Associate Professor of Plant Production, Faculty of Agriculture and Natural Resources, Gonbad Kavous University, Gonbad Kavous, Iran

4. Assistant Professor of Plant Production, Higher Education Complex of Shirvan, Shirvan, Iran

Received 11 May 2019; Accepted 10 July 2019

Abstract

In order to locate the QTLs associated with germination stresses and determine the contribution of each QTL in phenotypic variation, traits of 74 individuals RIL F8 of crosses of Ahlemi Tarom × Neda. The study was conducted at the University of Gonbad Kavous in 2017. The linkage map was based on 40 SSR markers, 16 ISSR markers (with 76 polymorph alleles), two IRAP markers (7 polymorph alleles) and an iPBS marker (with 3 polymorph alleles) assigned the markers to 12 groups of 12 rice chromosomes with a map length of 1491 cM and a distance between flanked markers of 13.07 cM. The components of germination including germination percentage, coleoptile length, radicle length and plumule length were recorded. Under normal conditions, nine genetic locations were detected. For the length of the roots of five genetic locations on chromosomes 3, 5, 6 and 7, and for the length of the stem, four gene locations were located on chromosomes 1, 5 and 7. Two genetic locations were detected in mannitol for Cleoptile length on chromosome 6. For the root length of the seven QTLs, they were located on chromosomes 3, 4, 6 and 7. For stem length, four gene locations were detected on chromosomes 4 and 6, which justified 8 to 11 percent of the phenotypic variation of the trait. Two genetic locations for root length were detected on chromosomes 5 and 8, while qRASA-8 was able to justify 14.9% of the phenotypic changes of the trait. There were also six genetic locations for stem length, which were located on chromosomes 5, 7 and 8, respectively: 8.75, 9.5, 11.25, 9.8, 13.6 and 15.7% respectively phenotypic changes justify the attribute. In the drought stress condition of polyethylene glycol, a gene site was detected for germination percentage on chromosome 2 and at 78 centimeters from the beginning of the chromosome, which justifies 10.3% of the phenotypic variation of the trait.

Keywords: Contiguity Map, Mannitol, PEG, QTL, Salinity

*Correspondent author: Hossein Sabouri; E-Mail: hos.sabouri@gmail.com.